

流量変化時の河床波の挙動について

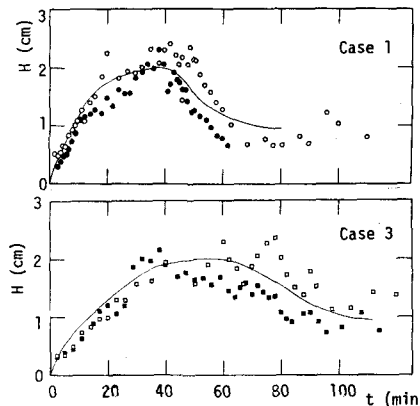
京都大学工学部
京都大学工学部
京都大学大学院
住友重機械工業

正員 中川 博次
正員 江本 哲郎
学生員 ○竹東 正孝
堀 重雄

非定常流況時の河床波の挙動は移動床水理学の今後の課題の一つといふ最近とくに注目されるようになってきた。本報は著者の昨年の実験的研究¹⁾（続くもの）今年度は図-1に示すよる流量変化パターンについて実験を行った結果とその考察を報告する。実験は長さ9m、幅33cmの可変勾配水路で、中央粒径0.07cmのはい均一砂を用いて行った。河床勾配は $I = 0.002$ 一定として図-1のように単位幅流量を変化させた。なお、 $f = 277, 464, 602$ cm^2/sec に対する同一流量での平坦河床からの河床波発達過程の実験も行い、参考資料として用いた。また河床形状計測は自走式超音波測深器を用いており、「crest-to-crest 法」で走査した距離、測量の時間的変化を調べた（平均値を対象とする）。

実験結果の一例が図-2, 3に示すよるかくは「流量変化速度が大きい（Case 1, 2, 3の順）ほど顕著な遅れがある」といふこと、波高は流量減少率に伴って小さくなるものの波長はほぼ一定である。

図-2 平均波高の時間的変化の一例



流量瞬間に形成された波長がかなり保ててあることが特徴的と言えよう。また $H \sim q$ (水深～流量) 関係を図-4に示したが、やはり遅れはよほど大きいのは結構顕著であり、実河川での渇水に対する影響が相当大きいことが予想され、図-5を見ても分かるようにこれが河床波のスケール（すくい=波高）および流量変化時の河床波の挙動に強く依存している。図-5の実線が実測値で、実験水路が充分広くないことを考慮し倒壁（アクリル樹脂製）の効果を除去した径深2倍用いている。また図中の破線は次式²⁾で表わせる Yalin の抵抗俠削式による計算結果である。

$$C/N\sqrt{q} = \frac{1}{t} \ln\left(\frac{1}{L}\right) / \sqrt{1 - \frac{1}{L} \int C d\psi - \frac{1}{L} \frac{H}{H_0} \left(\frac{1}{t} \ln\left(\frac{1}{L}\right) \right)^2} \quad \dots \dots \dots \quad (1)$$

ただし C : Chézy 係数、 ψ : 砂の充填角、 K : Kármán 係数である。上式と、

$L = C\sqrt{RI}$ …(2) $H = LH$ …(3) は実測の河床波スケールを入力し、それを数値計算によく求めたものである。Yalin の抵抗俢式は河床形状をパラメータとしているので「移動床流れの抵抗俢式」として不完全であるように考えられていくが、ニイ(=示したよ)な河床波の非平衡状況では、このように H, L を別途与えた形態がむろろ望ましいと言える。図-5(=示すよる)に Yalin 式を

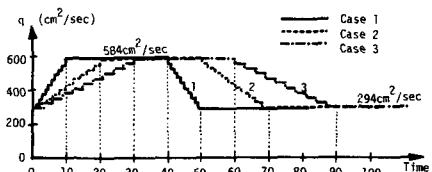


図-1 実験の対象とした流量変化パターン

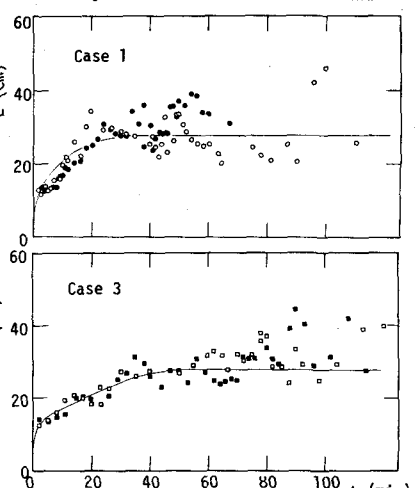


図-3 平均波長の時間的変化の一例

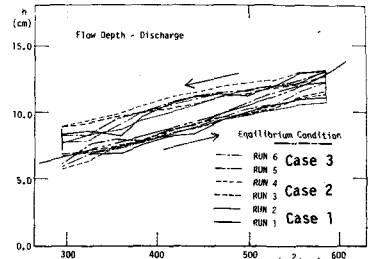


図-4 平均水深の時間的変化

* Hiroji NAKAGAWA, Tetsuro TSUJIMOTO, Masataka TAKEZUKA and Shigeo Hori

まほ、水深予測ができず、非定常時の移動床流
流れの問題はほとんど河床波のスケールの変化過程に帰着される。また著者(かぎし)によれば
 dH/dt , dL/dt を用いたモデルが得られても逐次
計算により河床波のスケールの変化を追跡し得る。
河床波のスケールの変化が局所的である限りの非
平衡的であるといふこと等、一つの河床波の前進で
の流砂量偏差を以てとし、微小時間内でのトーナー
ル変化を考へると、流砂の連続式より $\frac{dH}{dt} \approx \frac{q}{L^2} \approx \frac{1}{2}(HAL + L\Delta H) \dots \text{④}$
が成立する。 $\Delta L \approx \Delta H \approx \frac{dH}{dt} = \frac{q}{L^2} \cdot \frac{1}{1-f_0} \cdot \frac{AL}{dt} \approx \frac{1}{1-f_0} \frac{H}{L} \dots \text{⑤}$
が得られ $H/L = \text{const.}$ とすると式④から得た L, H
 $\sim \sqrt{t}$ が得られる。上記議論をもとに、

$$\frac{dH}{dt} / \frac{\partial B}{\partial t}, \frac{dL}{dt} / \frac{\partial B}{\partial t} \text{ が } H/L, L/t$$

の関数であることが証明され、実験的に二つの指数
関係を検討した。その結果次式を得た。

$$\frac{dH}{dt} = \frac{BH+B}{1-f_0} f_0(q) \cdot \frac{\partial B}{\partial t} \left(1 - \frac{H}{H_e}\right) \dots \text{⑥} \quad (f_0(q) = \dots)$$

$$\frac{dL}{dt} = \frac{BL+B}{1-f_0} f_0(q) \cdot \frac{\partial B}{\partial t} \left(1 - \frac{L-L_0}{L_e-L_0}\right) \dots \text{⑦} \quad (\text{初期状態})$$

(BH, BL, B は実験定数、添字は平衡値 L_0 :初期状態)
新しく導入された $B, BH, BL, (1 - \frac{H}{H_e})$ などは
河床波のステップの変遷過程の多様性にもに基づく
もので、例え $B(1 - \frac{H}{H_e})$ などは初期には比例过大
を増幅率を有する要因としてこの中川のモデル³⁾を示す
でないものである。また BH, BL などは流量減少時

では大波浪は変化せず、
この方 流砂量偏差を以て
が埋め戻しが多い傾向
になるとほどを考慮する
ための定数とした。
式⑥⑦の計算に必要な
平衡状態のステップは

図-7によつて決定した

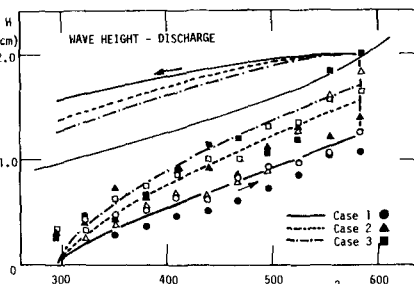


図-7 河床波のスケールの流量変動に対するルート (実測結果は流量増加時)

($d=0.07 \text{ cm}, I=0.002$ の場合)。また流量減少時には河床波の変化は特異であり
とくに個々の波に着目してステップの変化を模擬したのが図-8である。波長の場合、長
波浪のまま流量が減じ追いつき等をとつか極端に出現し難く、より波浪変化が
停止したものと思われる。以上の検討より河床波のスケール及び水深 (Yalin
式利用)と流量変動との関係を予測したものが図-9, 10である。実験結果とあ
る程度説明できることである。参考文献: 1)中川・江川・山田・今井:昭和5年発行(西年譜)
2)Yalin: La Houille Blanche, 1964 3)中川・本: 京大防災研究報告 1976, 4)中川・本: 36回年譜, 1984.

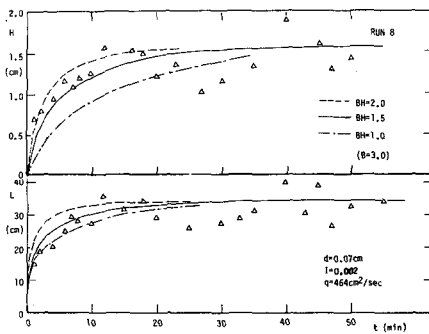


図-8 流量減少時の個々の
河床波のスケールの変化

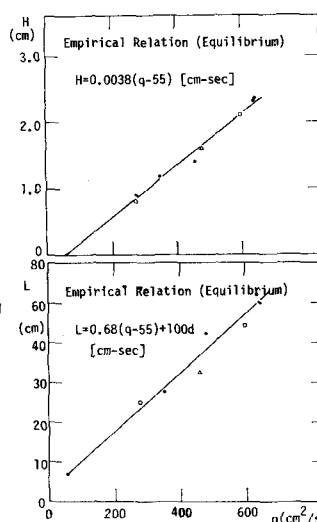


図-9 河床波のスケールの流量変動に対するルート

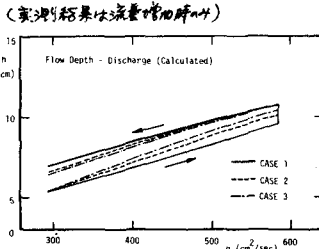
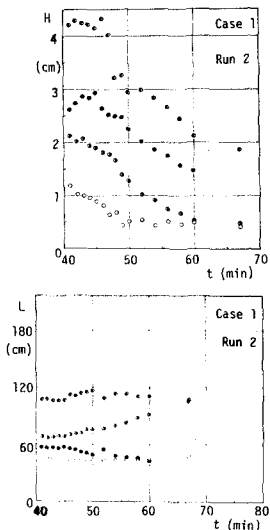


図-10 h-q の予測例(図-4付)